

**П.Н. ТКАЧ**, к.т.н., доц., старший научный сотрудник отдела прочности сварных конструкций ИЭС им. Е.О. Патона НАН Украины, Киев;  
**О.А. РЕВЯКИНА**, к.т.н., доцент каф. физики и прикладной механики ЛНУ им. Тараса Шевченко, Старобельск;  
**Е.Ю. ЧАЛАЯ**, ассистент каф. прикладной математики ВНУ им. В. Даля, Северодонецк

### СРАВНЕНИЕ АРОЧНОЙ ПЕРЕДАЧИ СМЕШАННОГО ЗАЦЕПЛЕНИЯ С ТРАДИЦИОННОЙ ПО ГЕОМЕТРО-КИНЕМАТИЧЕСКИМ ПОКАЗАТЕЛЯМ

В статье представлен профиль исходного контура обкатных арочных передач смешанного зацепления. Головка зуба шестерни и ножка зуба колеса образованы отрезком прямой, т.е. представляют собой традиционное квазиэвольвентное зацепление. Ножка зуба шестерни и головка зуба колеса образованы кривой, полученной на основе синтеза по заданному значению приведенной кривизны. Приведена сравнительная оценка геометро-кинематических показателей таких передач с традиционными квазиэвольвентными передачами.

**Ключевые слова:** арочная передача, смешанное зацепление, квазиэвольвентные передачи, показатели работоспособности, приведенная кривизна

**Введение. Актуальность задачи.** Зубчатые передачи получили широкое распространение в приводах современных машин и во многом определяют их качество. Поэтому задача совершенствования зубчатых приводов есть, безусловно, актуальной. Одним из путей решения этой задачи является поиск рациональной геометрии зацепляющихся зубьев, который может быть сведен к задаче синтеза геометрии по заданным значениям качественных показателей работоспособности. Такая задача относится к проблеме многокритериальной оптимизации машиностроительных конструкций [1].

**Анализ последних исследований и литературы.** Основным критерием работоспособности зубчатых передач является контактная прочность рабочих поверхностей зубьев, которая зависит от приведенной кривизны рабочих поверхностей. Уменьшение приведенной кривизны приводит к снижению интенсивности износа зубьев, повышению толщины масляного слоя в зоне контакта рабочих поверхностей, уменьшению потерь в зацеплении и теплонапряженности в зоне контакта [2]. Решению задачи совершенствования зубчатых передач из условия контактной прочности выбором рациональной геометрии рабочих поверхностей зубьев посвящено значительное количество работ специалистов в области исследования передач зацеплением [3,4,5]. В этих работах предлагаются различные способы уменьшения приведенной кривизны рабочих поверхностей зубьев. В работе [5] предложен метод синтеза исходного контура режущего инструмента по заданной постоянной величине приведенной кривизны рабочих поверхностей зубьев.

Синтез сводится к решению дифференциального уравнения, связывающего геометрические параметры передачи с приведенной кривизной. Однако получаемые при этом передачи имеют высокую чувствительность к погрешностям изготовления и монтажа по сравнению с традиционными. Устранить данный недостаток можно применением смешанного зацепления [6], в котором

головка зуба шестерни и ножка зуба колеса образованы отрезком прямой, т.е. представляют собой квазиэвольвентное зацепление, а ножка зуба шестерни и головка зуба колеса образованы кривой, полученной на основе синтеза по заданному значению приведенной кривизны, например по методу [7].

**Цель статьи.** Получить исходный контур для реализации смешанного зацепления в арочной передаче и для нее определить геометро-кинематические показатели работоспособности.

**Постановка задачи.** Исходный контур смешанного зацепления в работе [6] представлен в параметрическом виде соответственно для головки и ножки. Учитывая, что половина исходного контура, предназначенная для образования квазиэвольвентного зацепления, представляет собой отрезок прямой, ее удобнее представить в явном виде, т.е.  $f_2 = f_2(f_1) = f_1 \operatorname{tg} \alpha_n$  (рисунок 1). Поэтому и синтезированную часть далее получим в виде  $\Phi_2 = \Phi_2(\Phi_1)$ .

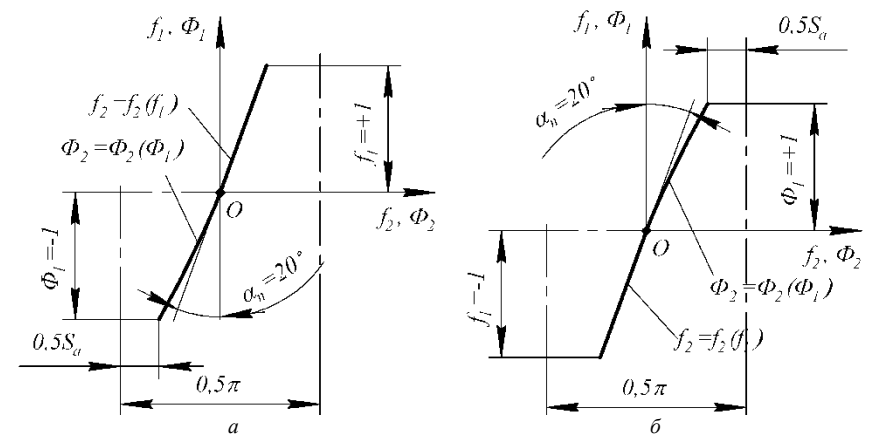


Рисунок 1 – Исходный контур смешанного зацепления:  
 а – для образования зуба шестерни (головка –  $f_2(f_1)$ , ножка –  $\Phi_2(\Phi_1)$ );  
 б – для образования зуба колеса (головка –  $\Phi_2(\Phi_1)$ , ножка –  $f_2(f_1)$ )

Для успешной реализации смешанного зацепления необходимо при синтезе, т.е. при определении зависимости  $\Phi_2 = \Phi_2(\Phi_1)$ , выбирать угол профиля на начальной прямой равным углу профиля прямоочного участка. Такое равенство означает и равенство значений относительной приведенной кривизны, т.к. в полюсе она зависит только от угла профиля. Наибольшее распространение в приводах машин общего назначения получили передачи с углом зацепления  $\alpha_n = 20^\circ$ . Такой угол соответствует значению относительной приведенной кривизны

$$\bar{\chi}_0 = 1/\sin \alpha_n = 1/\sin 20^\circ = 2,92. \quad (1)$$

Следовательно, синтезировать участок для образования ножки зуба шестерни и головки зуба колеса будем по значению (1).

**Материалы исследований.** Уравнение для синтеза передач с зубьями по заданной приведенной кривизне рабочих поверхностей получено в работе [6], приведем его к виду

$$\bar{\chi}_0 = \frac{(\zeta - \Phi_1 \zeta')^2 \zeta^3}{\left[ \zeta^3 + \bar{\Phi}(\zeta - \Phi_1 \zeta') \right] \left[ \zeta^3 - \frac{\bar{\Phi}}{u}(\zeta - \Phi_1 \zeta') \right]}, \quad (2)$$

где  $R_1, R_2$  – радиусы делительных окружностей шестерни и колеса соответственно;  $u$  – передаточное отношение передачи, равно  $u = R_2/R_1$ ;  $\bar{\Phi} = \Phi_1/R_1$ ;  $\zeta = \sin \alpha$ ,  $\alpha$  – угол профиля исходного контура,  $\zeta'$  – производная  $\zeta$  по  $f_1$ .

Для осуществления синтеза передач по заданному значению  $\bar{\chi}_0$  необходимо уравнение (2) разрешить относительно  $\Phi_1$ . Рассмотрим алгоритм синтеза исходного контура на примере головки зуба колеса (рисунок 1,б), где  $\Phi_1$  принимает положительные значения. Здесь и далее параметры зацепления (например  $R_1, R_2$ ) задаются в долях модуля.

1. Задаем постоянное значение  $\bar{\chi}_0 = 2,92$ .
2. Принимаем, что синтез осуществляется для передачи с минимальным числом зубьев, поэтому  $R_1 = R_2 = 5$ ,  $u = 1$ .
3. Задаем начальные значения  $\Phi_{10} = 0,05$ ;  $\Phi_{20} = 0$ ;  $\alpha_0 = 20^\circ$ .
4. После преобразования равенства (2) получаем дифференциальное уравнение

$$A(\zeta')^2 + B\zeta' + C = 0, \quad (3)$$

где  $A = \bar{A} + \bar{\chi}_0 b_2 \Phi_1^4$ ;  $B = -\bar{\chi}_0(2\Phi_1^3 \zeta b_2 - \bar{A} b_1) - 2\bar{B}$ ;  $C = \zeta^5 - \bar{\chi}_0(\zeta^6 + \bar{B} b_1 - \bar{C} b_2)$ ;  $\bar{A} = \Phi_1^2 \zeta^3$ ;  $\bar{B} = \Phi_1 \zeta^4$ ;  $\bar{C} = \Phi_1^2 \zeta^2$ ;  $b_1 = u - 1/(uR_1)$ ;  $b_2 = 1/(uR_1^2)$ .

5. Решение дифференциального уравнения представляем в виде ряда ( $\Phi_1 = \Phi$ ,  $\Phi > 0$ )

$$\zeta = a_0 + a_1(\Phi - \Phi_0) + (1/2)a_2(\Phi - \Phi_0)^2 + (1/6)a_3(\Phi - \Phi_0)^3 + \dots \quad (4)$$

где  $\Phi_0$  – значение переменной  $\Phi$  в точке, в окрестности которой  $\zeta$  раскладывается в ряд;  $a_0 = \sin \alpha_0 = \zeta_0$ ;  $a_1 = \zeta_0'$ ;  $a_2 = \zeta_0''$ ;  $a_3 = \zeta_0'''$  – значение функции  $\zeta$  и первых трех ее производных в точке  $\Phi_0$ ;  $\alpha_0$  – угол профиля в этой точке.

Последовательно дифференцируя левую часть (4) получаем при  $\Phi = \Phi_0$

$$a_0 = \sin \alpha_0; a_1 = \left( -B \pm \sqrt{B^2 - 4AC} \right) / (2A); a_2 = -(A'a_1^2 + B'a_1 + C'') / (2Aa_1 + B); \quad (5)$$

$$a_3 = -(A''a_1^2 + 4Aa_1a_2 + 2Aa_2^2 + B''a_1 + 2B'a_2 + C''') / (2Aa_1 + B).$$

Здесь

$$A' = \bar{A}' + \bar{\chi}_0' b_2 \Phi_0^4 + 4b_2 \Phi_0^3 \bar{\chi}_0; A'' = \bar{A}'' + (\bar{\chi}_0'' \Phi_0^4 + 8\Phi_0^3 \bar{\chi}_0' + 12\Phi_0^2 \bar{\chi}_0'') b_2;$$

$$B' = -\bar{\chi}_0'(2\Phi_0^3 a_0 b_2 - \bar{A} b_1) - \bar{\chi}_0[2b_2(3\Phi_0^2 a_0 + \Phi_0^3 a_1) - \bar{A}' b_1] - 2\bar{B}';$$

$$B'' = -\bar{\chi}_0''(2\Phi_0^3 a_0 b_2 - \bar{A} b_1) - 2\bar{\chi}_0'[2b_2(3\Phi_0^2 a_0 + \Phi_0^3 a_1) - \bar{A}' b_1] -$$

$$-\bar{\chi}_0[2b_2(6\Phi_0 a_0 + 6\Phi_0^2 a_1 + \Phi_0^3 a_2) - \bar{A}'' b_1] - 2\bar{B}'';$$

$$C' = 5a_0^4 a_1 - \bar{\chi}_0'(a_0^6 + \bar{B} b_1 - \bar{C} b_2) - \bar{\chi}_0(6a_0^5 a_1 + \bar{B}' b_1 - \bar{C}' b_2);$$

$$C'' = 5a_0^3(4a_1 + a_0 a_2) - \bar{\chi}_0''(a_0^6 + \bar{B} b_1 - \bar{C} b_2) - \bar{\chi}_0'(6a_0^5 a_1 + \bar{B}' b_1 - \bar{C}' b_2) -$$

$$-\bar{\chi}_0[6(5a_0^4 a_1^2 + a_0^5 a_2) + \bar{B}'' b_1 - \bar{C}'' b_2];$$

$$\bar{A}' = 2\Phi_0 a_0^3 + 3\Phi_0^2 a_0^2 a_1; \bar{A}'' = 2a_0^3 + 12\Phi_0 a_0^2 a_1 + 6\Phi_0^2 a_0 a_1^2 + 3\Phi_0^3 a_0^2 a_2;$$

$$\bar{B}' = a_0^4 + 4\Phi_0 a_0^3 a_1; \bar{B}'' = 8a_0^3 a_1 + 12\Phi_0 a_0^2 a_1^2 + 4\Phi_0^2 a_0^3 a_2;$$

$$\bar{C}' = 2\Phi_0 a_0^2 + 2\Phi_0^2 a_0 a_1; \bar{C}'' = 2a_0^2 + 8\Phi_0 a_0 a_1 + 2\Phi_0^2 a_1^2 + 2\Phi_0^3 a_0 a_2.$$

$\bar{\chi}_0', \bar{\chi}_0''$  – первая и вторая производные  $\bar{\chi}_0$  по  $\Phi$  (в общем случае заданная относительная приведенная кривизна может зависеть от  $\Phi$ ).

6. Определяем функцию  $\Phi_2(\Phi)$  решением дифференциального уравнения  $\Phi_2' = \zeta / \sqrt{1 - \zeta^2}$ .

Решение этого уравнения представим в виде ряда ( $\Phi > 0$ )

$$\Phi_2 = \Phi_{20} + \Phi_{20}'(\Phi - \Phi_0) + (1/2)\Phi_{20}''(\Phi - \Phi_0)^2 + (1/6)\Phi_{20}'''(\Phi - \Phi_0)^3 + \dots \quad (6)$$

где  $\Phi_{20}, \Phi_{20}', \Phi_{20}'', \Phi_{20}'''$  – значение функции  $\Phi_2$  и ее первых трех производных при  $\Phi = \Phi_0$ .

Последовательным дифференцированием уравнения (6) получаем

$$\Phi_{20}' = a_0(1 - a_0^2)^{-0,5}; \Phi_{20}'' = a_1(1 - a_0^2)^{-1,5}; \Phi_{20}''' = a_2(1 - a_0^2)^{-1,5} + 3a_0 a_1^2(1 - a_0^2)^{-2,5}.$$

На этом шаг вычислений закончен. Исходными данными для следующего шага являются конечные данные предыдущего. Например, второй шаг производится при  $\Phi = \Phi_0 = 0,1$ ; при  $\Phi_{20}$ , равном значению  $\Phi_2$ , вычисленному по формуле (6); при  $\zeta_0$  равном значению  $\zeta$ , вычисленному по формуле (4) с учетом (5). Последним является шаг при  $\Phi = \Phi_0 = 1$ , что соответствует вершине зуба колеса.

Таблица 1 – Параметры исходного контура для образования арочных зубьев передачи смешанного зацепления (для образования зубьев шестерни)

Головка зуба рейки ( $f_2 = f_1 \operatorname{tg} \alpha_n$ )			Ножка зуба рейки ( $\Phi_2 = \Phi_2(\Phi_1)$ )		
$\alpha, ^\circ$	$f_1$	$f_2$	$\alpha, ^\circ$	$\Phi_1$	$\Phi_2$
20	1	0,36397	20*	0	0
20	0,9	0,327573	20,3	-0,1	-0,03663
20	0,8	0,291176	20,7	-0,2	-0,07395
20	0,7	0,254779	21,3	-0,3	-0,11229
20	0,6	0,218382	21,9	-0,4	-0,15187
20	0,5	0,181985	22,6	-0,5	-0,19283
20	0,4	0,145588	23,4	-0,6	-0,23528
20	0,3	0,109191	24,1	-0,7	-0,27927
20	0,2	0,072794	24,9	-0,8	-0,32484
20	0,1	0,036397	25,6	-0,9	-0,3720
20*	0	0	26,4	-1	-0,42078

Примечание: \* – значение профильного угла на начальной прямой

Чтобы получить синтезированный участок для ножки шестерни (рисунок 1,а), нужно принимать отрицательные значения  $\Phi = \Phi_0 = 0 \dots -1$ . Тогда исходный контур будет иметь параметры, приведенные в таблице 1.

Для полученных  $\Phi_2 = \Phi_2(\Phi_1)$  проверим, выполняется ли для полученного контура условие отсутствия заострения  $0,5S_a \geq 0,3$  (рисунок 1)

$$0,5S_a = 0,25\pi - \Phi_2(\Phi_1^{\max}) = 0,25 \cdot 3,14 - 0,48207 = 0,3.$$

Полученное значение допустимо, заострения не будет.

Ширину кругового зуба определим для максимального угла

наклона  $\beta_{\max} = 50^\circ$  при радиусе инструмента  $R_u = 10$

$$0,5B = R_u \sin \beta_{\max} = 10 \sin 50^\circ = 7,66 .$$

Определим геометро-кинематические показатели работоспособности арочных передач смешанного зацепления с круговым зубом в сравнении с традиционными.

На рисунке 2 представлены проекции линий контакта на плоскость  $XOZ$ , касательную к окружности, описывающую продольную форму зуба. Пунктирными линиями показаны границы поля зацепления  $f_1^*$  и  $\Phi_1^*$ , определенные при  $Z_1 = 18$  и  $Z_2 = 90$  из соотношений

$$[(Z_1 + 2)/2]^2 = (f_1^* + R_1)^2 + (f_1^*/f_2^*)^2; \quad [(Z_2 + 2)/2]^2 = (\Phi_1^* - R_2)^2 + (\Phi_1^*/\Phi_2^*)^2 .$$

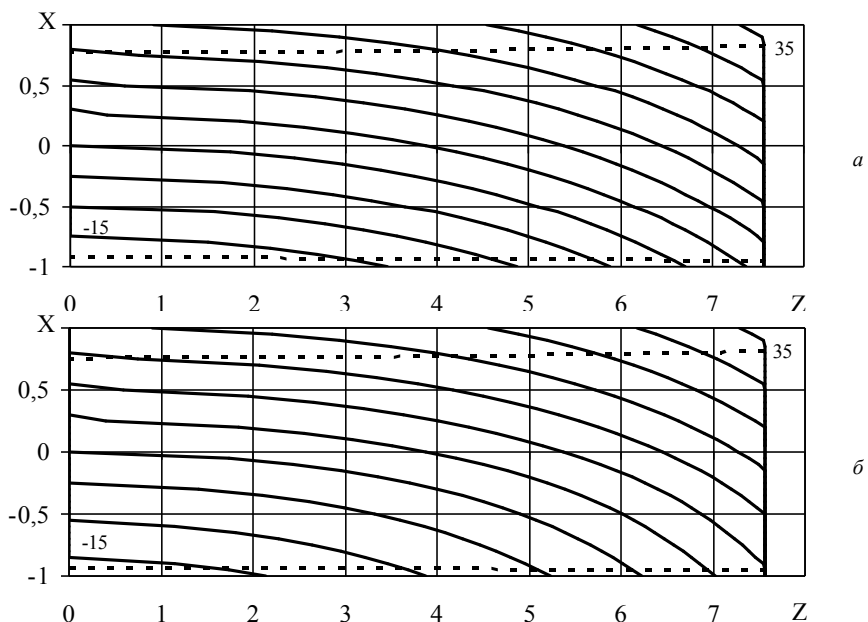


Рисунок 2 – Проекция контактных линий (угол поворота шестерни от  $-15^\circ$  до  $35^\circ$ )

На рисунках 3-10 приведены значения геометро-кинематических показателей работоспособности, определенных по зависимостям [6].

**Результаты исследований.** Сравнение значений показателей работоспособности, приведенных на рисунках 3-10 для синтезированных участков (ножка зуба шестерни и головка зуба колеса), с соответствующими им значениями квазиэвольвентной передачи представлено в таблице 2.

Таблица 2 – Соотношение показателей работоспособности на границе поля зацепления (ножка зуба шестерни и головка зуба колеса)

$\frac{V_{12}^k}{V_{12}^c}$	$\frac{V_1^c}{V_1^k}$	$\frac{V_2^c}{V_2^k}$	$\frac{V_\Sigma^c}{V_\Sigma^k}$	$\frac{\eta_1^k}{\eta_1^c}$	$\frac{\eta_2^k}{\eta_2^c}$	$\frac{\bar{\chi}^k}{\bar{\chi}^c}$	$\frac{v^c}{v^k}$	$\frac{V^k}{V^c}$
от 1,14 до 1,18	от 2,17 до 5,06	от 1,45 до 1,56	от 1,68 до 2,06	от 2,5 до 5,95	от 1,68 до 1,83	от 2,49 до 6,23	от 0,92 до 0,99	от 1,15 до 1,18

Примечание: индексы "k" и "c" относятся к квазиэвольвентному и смешанному зацеплению соответственно

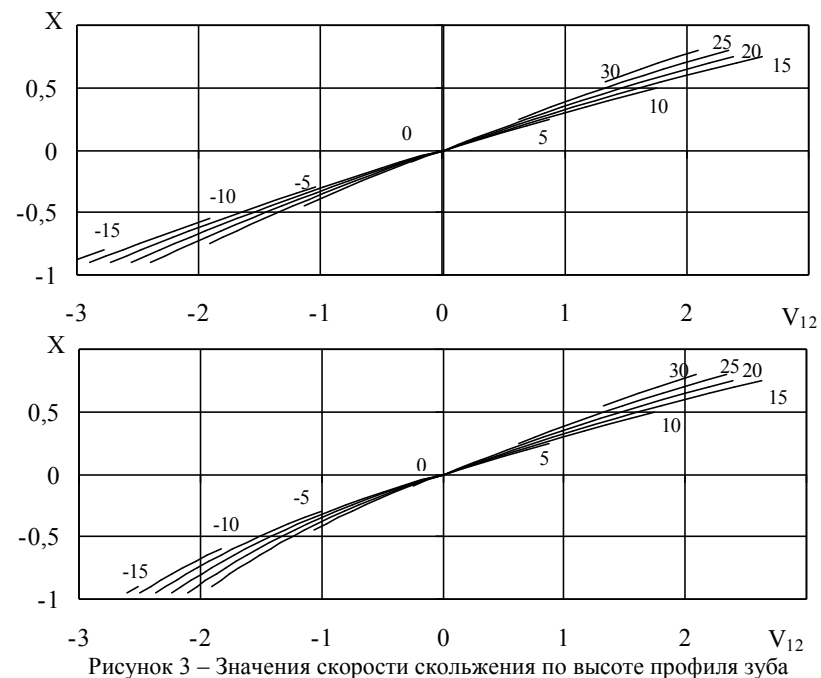


Рисунок 3 – Значения скорости скольжения по высоте профиля зуба

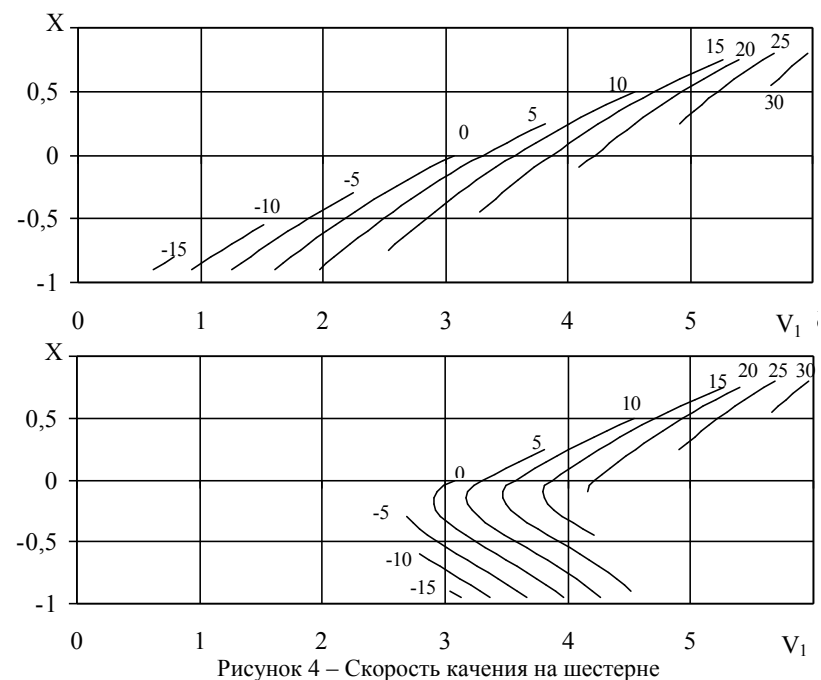


Рисунок 4 – Скорость качения на шестерне

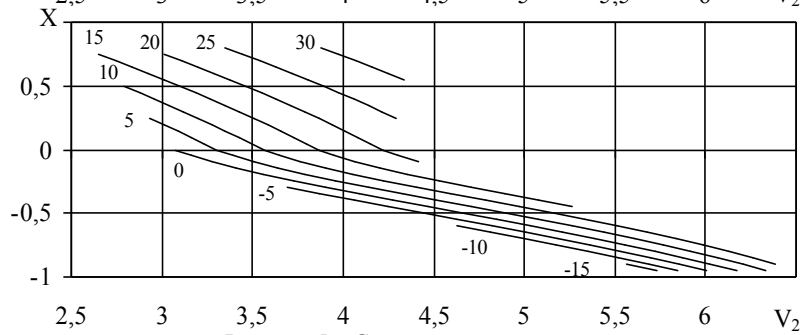
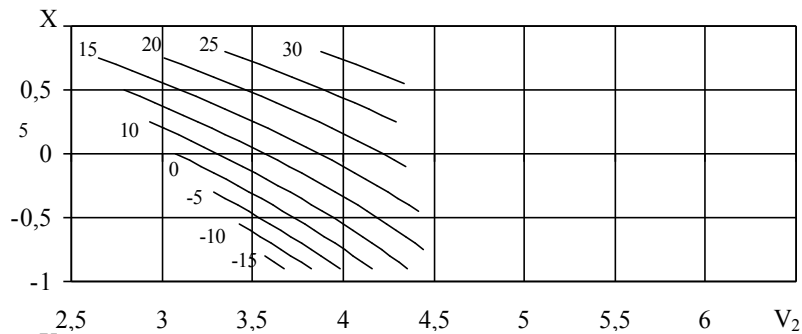


Рисунок 5 – Скорость качения на колесе

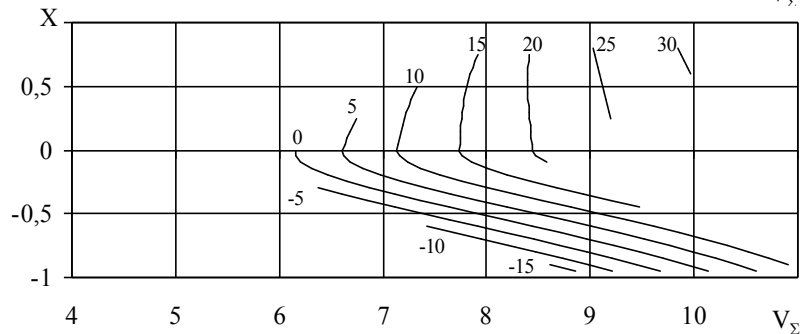
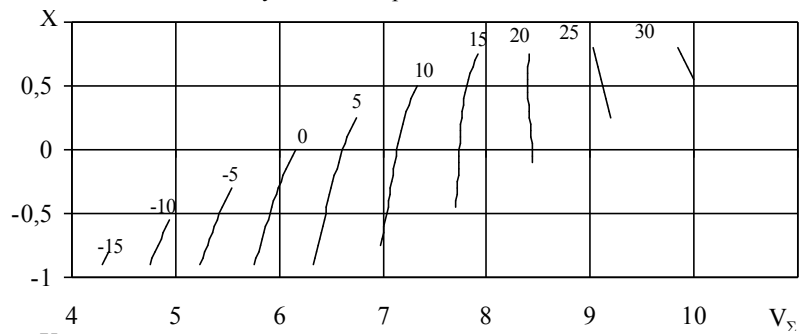


Рисунок 6 – Суммарная скорость качения

a

б

a

б

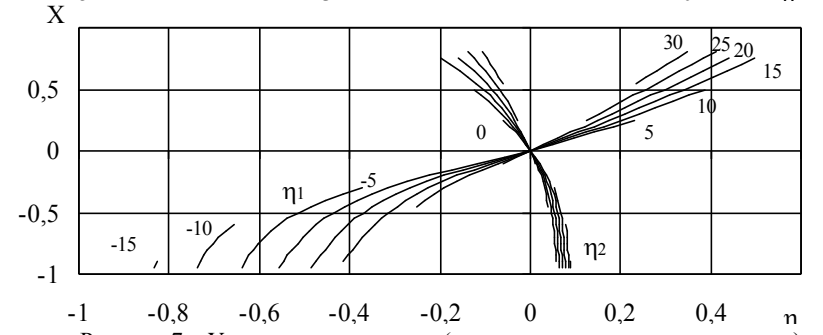
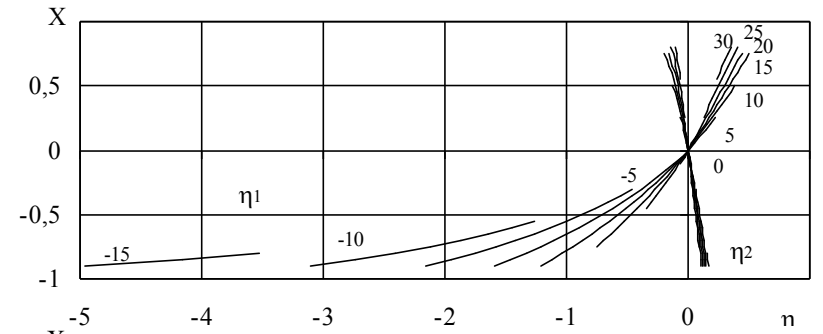


Рисунок 7 – Удельные скольжения ( $\eta_1$  – на шестерне;  $\eta_2$  – на колесе)

a

б

a

б

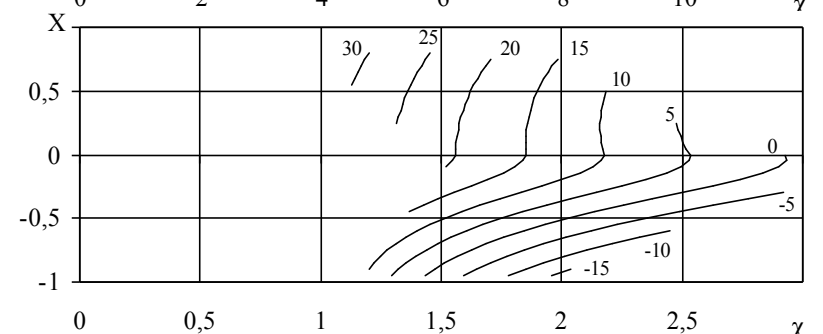
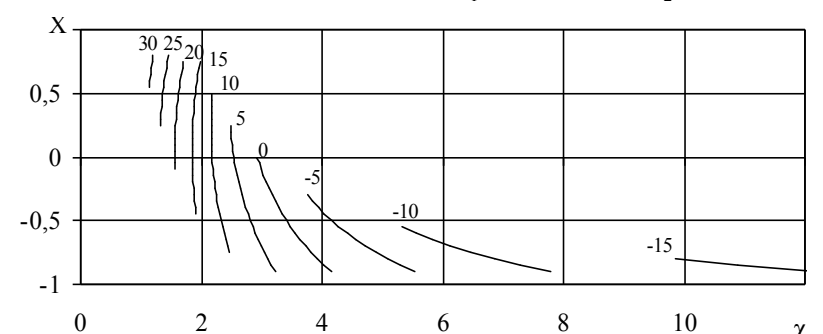


Рисунок 8 – Приведенная кривизна рабочих поверхностей

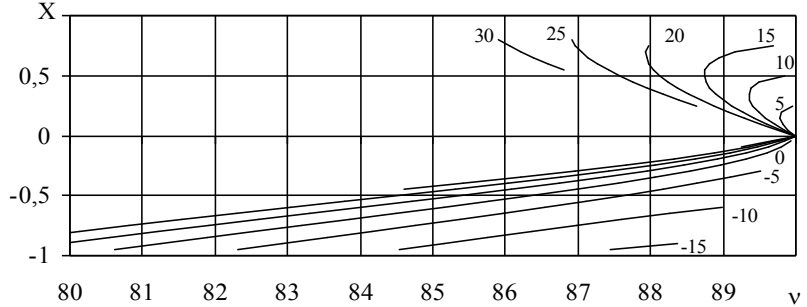
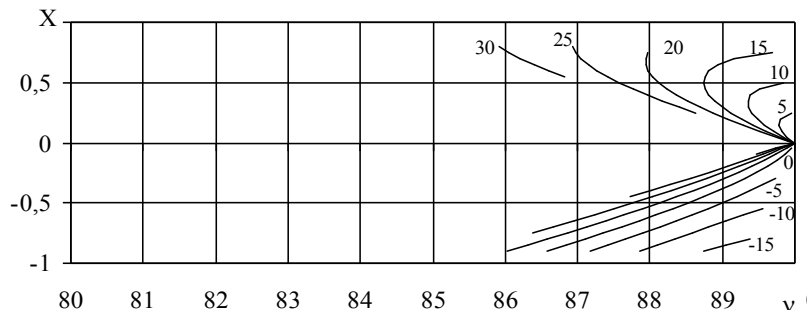


Рисунок 9 – Угол между вектором скорости скольжения и контактной линией

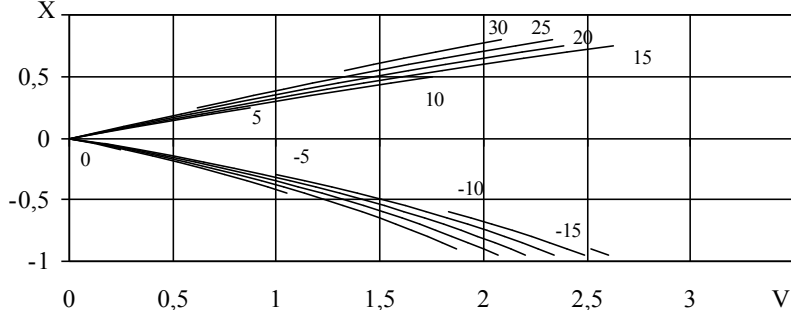
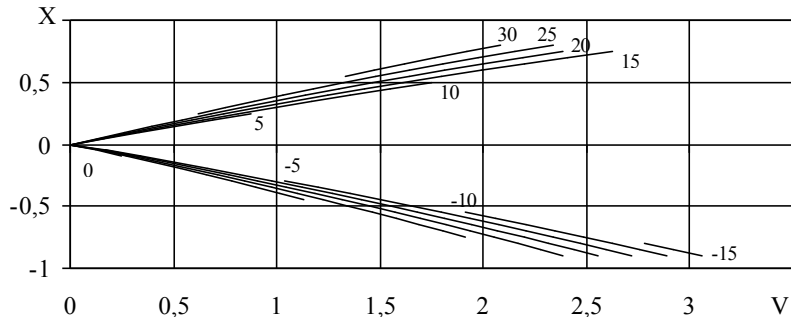


Рисунок 10 – Проекция вектора  $\vec{V}_{12}$  на нормаль к мгновенной контактной линии

Примечания к рисункам 2-10: 1. а – традиционное зацепление; б – смешанное зацепление.

2. Рядом с линиями указаны соответствующие им углы поворота шестерни в градусах.

Анализ данных таблицы 2 показывает, что значения показателей работоспособности синтезированной зубчатой передачи на границах поля зацепления в основном превосходят по своей величине показатели квазиэвольвентной передачи.

#### Выводы:

1. Получен исходный контур смешанного арочного зацепления, в котором головка зуба шестерни и ножка зуба колеса представляют собой квазиэвольвентную передачу, а ножка зуба шестерни и головка зуба колеса образованы кривой, полученной на основе синтеза по заданному значению приведенной кривизны. Предложена методика синтеза, определены геометро-кинематические показатели работоспособности при  $Z_1 = 18$ ,  $Z_2 = 90$ .

2. Приведена сравнительная оценка показателей таких передач с традиционными квазиэвольвентными, которая показала, что на границах поля зацепления значения большинства показателей смешанного зацепления выше, чем у некоррегированного традиционного в 1,14...6,23 раза. Меньше на 1...8% только угол  $\nu$ , однако это уменьшение не сказывается на значении проекции скорости скольжения.

3. Наибольший эффект от применения смешанного зацепления наблюдается в основании зуба шестерни. Это связано с тем, что ее число зубьев  $Z_1 = 18$  близко к минимально допустимому из условия отсутствия подрезания. Повышение показателей работоспособности на зубьях колеса, напротив, незначительное по сравнению с шестерней. Поэтому наибольший эффект от применения смешанного зацепления ожидается в передачах с минимальными числами зубьев.

**Список литературы:** 1. Кіндрацький Б. Сучасний стан і проблеми багатокритеріального синтезу машинобудівних конструкцій (огляд) / Кіндрацький Б., Сулім Г. // *Машинознавство*. – Львів, 2002. – №10(64). – С.26-40. 2. Ревякіна О.А. Удосконалення циліндричних передач із арковими зубцями синтезом за критеріями працездатності: Автореф. дис...канд. техн. наук. 05.02.02. – Луганськ, 2003. – 25с. 3. Вулгаков Э.Б. Зубчатые передачи с улучшенными свойствами / Э.Б. Вулгаков. – М.: Машиностроение, 1974. – 264с. 4. Павлов А.И. Современная теория зубчатых зацеплений. Монография / А.И. Павлов. – Харьков: ХНАДУ, 2005. – 100с. 5. Шшишов В.П. Теоретические основы синтеза передач зацеплением: Монография / В.П. Шшишов, П.Л. Носко, П.В. Филь. – Луганск: Изд-во СНУ им. В. Даля, 2006. – 408с. 6. Ткач П.М. Геометро-кинематичні критерії працездатності циліндричних аркових передач змішаного зацеплення з круговим зубом / П.М. Ткач, О.Ю. Чала // *Вісник НТУ "ХПІ"*. Серія: Проблеми механічного приводу. – Х.: НТУ "ХПІ", 2014. – №31(1074). – С.163-168. 7. Шшишов В.П. Дифференціальні рівняння для синтезу геометрії аркових зубчатих передач змішаного зацеплення / В.П. Шшишов, П.Н. Ткач, Е.Ю. Чала, Т.Е. Журавлєва // *Вісник Нац. техн. ун-ту "ХПІ"*. Збірник наукових праць. Серія: Проблеми механічного приводу. – Х.: НТУ "ХПІ", 2013. – №41(1014). – С.181-189.

**Bibliography (transliterated):** 1. Kindrac'kiy B. Suchasniy stan i problemi bogatokriteriального sintezu mashinobudivnikh konstrukcij (oglyad) / Kindrac'kiy B., Sulim G. // *L'viv, Mashinoznavstvo*, 2002, No10(64), P.26-40. 2. Udoskonalyuvannya cilindrichnikh peredach iz arkovimi zubcyami sintezom za kriteriyami pracezdatnosti: Avtoref. dis... kand.tekhn.nauk. 05.02.02 / Revyakina O.A. – Lugansk, 2003. 25p. 3. Vulgakov E.B. Zubchatihe peredachi s uluchshennimi svojstvami / E.B. Vulgakov. Moscow.: Mashinostroenie, 1974. 264p. 4. Pavlov A.I. Sovremennaya teoriya zubchatikh zacepleniij. Monografiya / A.I. Pavlov. – Kharkov: KhNADU, 2005. 100p. 5. Shishov V.P. Teoreticheskie osnovih sinteza peredach zacepleniem: Monografiya / V.P. Shishov, P.L. Nosko, P.V. Fil'. Lugansk: Izd-vo SNU im. V. Dalja. 2006. 408p. 6. Tkach P.M. Geometro-kinematichni kriteriji pracezdatnosti cilindrichnikh arkovikh peredach zmishanogo zacheplenniya z krugovim zubom / P.M. Tkach, O.Yu. Chala // *Visnik NTU "KhPI"*. Seriya: Problemi mekhanichnogo privodu. Kh.: NTU "KhPI", 2014. No31(1074). P.163-168. 7. Shishov V.P. Differencial'nie uravneniya dlya sinteza geometrii archnikh zubchatikh peredach smeshannogo zacepleniya / V.P. Shishov, P.N. Tkach, E.Yu. Chalaya, T.E. Zhuravlyova // *Visnik Nac. tekhn. un-tu "KhPI"*. Zbirnik naukovikh prac'. Seriya: Problemi mekhanichnogo privodu. Kharkiv: NTU "KhPI". 2013. No41(1014). 193p. P.181-189.

Поступила (received) 10.05.2015